

УДК 536.42

## ПОЛУЧЕНИЕ НАНОКРИСТАЛЛОВ ОКСИДА АЛЮМИНИЯ В ГИДРОТЕРМАЛЬНЫХ УСЛОВИЯХ

© 2005 г. О. В. Альмяшева, Э. Н. Корыткова, А. В. Маслов, В. В. Гусаров

Институт химии силикатов им. Гребеницкова

Российской академии наук, Санкт-Петербург

Поступила в редакцию 25.12.2003 г.

Проведен термодинамический анализ фазовых равновесий в системе  $\text{Al}_2\text{O}_3-\text{H}_2\text{O}$  в диапазоне температур 120–380°C и давлений 1–70 МПа. Исследован процесс дегидратации гидроксида алюминия в гидротермальных условиях. Показано, что указываемая на экспериментальных фазовых диаграммах структурная модификация  $\gamma\text{-AlOOH}$  (бемит) в этом диапазоне температур и давлений является неравновесной. Выявлена ярко выраженная зависимость скорости и механизма процесса дегидратации от кристаллического состояния исходного гидроксида алюминия и давления гидротермальной обработки.

### ВВЕДЕНИЕ

Для оксида алюминия характерно большое разнообразие полиморфных модификаций [1–20]. Вместе с тем, равновесной является только модификация со структурой корунда –  $\alpha\text{-Al}_2\text{O}_3$  [1–24] (см. рис. 1.). Следует отметить, что при разложении солей, гидроксидов и оксигидроксидов на воздухе при нормальном давлении, а также при кристаллизации расплава в зависимости от термической предыстории и химической формы исходного вещества образуются различные структурные формы оксида алюминия [1–20]. В случае формирования кристаллов оксида алюминия в гидротермальных условиях, по данным ряда авторов, характерно образование в основном  $\alpha\text{-Al}_2\text{O}_3$  (например, [21]) (рис. 2).

Вместе с тем, в литературе имеются различные (в некоторых случаях противоречивые) данные об образовании оксида алюминия путем дегидратации гидроксидов (оксигидроксидов) алюминия различного строения в гидротермальных условиях. Согласно [22], в гидротермальных условиях корунд является стабильной формой выше 450°C. Авторами [23] для изучения условий равновесного существования отдельных кристаллических фаз в системе  $\text{Al}_2\text{O}_3-\text{H}_2\text{O}$  были построены  $p-t$ -диаграммы. В гидротермальных условиях при температурах 320–400°C и давления водяного пара 1.5–10 МПа авторы диаграммы [21], представленной на рис. 2, получили нанокристаллическую форму  $\alpha\text{-Al}_2\text{O}_3$  с размерами кристаллов 30–80 нм. Кроме того, ими были получены новая форма  $\alpha\text{-Al}_2\text{O}_3$ , обозначаемая как  $\alpha\text{-Al}_2\text{O}_3\text{-KI}$ , и так называемый “автоклавный”  $\gamma\text{-Al}_2\text{O}_3$ , образующийся в гидротермальных условиях при температуре 400–500°C и давлении 10–15 МПа. Как следует из анализа диаграмм, приведенных на рис. 2, несмо-

тря на их схожесть в области низких давлений, существует ряд принципиальных различий, связанных, в частности, с возможностью образования в гидротермальных условиях формы  $\gamma\text{-Al}_2\text{O}_3$ , обнаруженной в [21], и с расположением границ устойчивого существования  $\alpha\text{-Al}_2\text{O}_3$ .

В связи с этим представляют интерес теоретическое и экспериментальное исследования процессов дегидратации гидроксида алюминия, что особенно важно в связи с проблемой получения наночастиц  $\alpha\text{-Al}_2\text{O}_3$ .

### ТЕОРЕТИЧЕСКИЙ АНАЛИЗ

При проведении термодинамических расчетов в качестве исходного соединения рассматривали гидроксид алюминия в кристаллическом ( $\text{Al}(\text{OH})_3\text{ кр}$  – гидрагиллит) или аморфном ( $\text{Al}(\text{OH})_3\text{ ам}$ ) состоянии. Анализировали четыре гипотетические схемы процесса дегидратации  $\text{Al}(\text{OH})_3$ :



На основании результатов расчета построена обобщенная диаграмма превращений (рис. 2). Анализ полученных данных показывает достаточно близкое соответствие результатов расчета и экс-

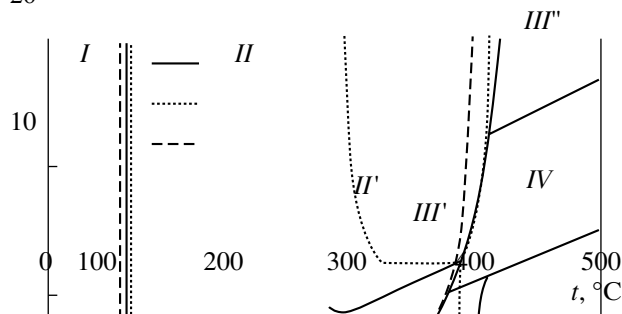


**Рис. 1.** Схемы превращений, приводящих к образованию различных кристаллических модификаций оксида алюминия.

P, МПа

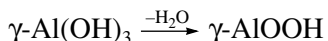
периментальных данных, приведенных в [21, 23]. Единственным систематическим различием между расчетными и экспериментальными данными

20

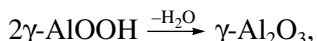


**Рис. 2.** Экспериментальные [21, 24] и расчетная диаграммы превращений в системе Al<sub>2</sub>O<sub>3</sub>-H<sub>2</sub>O (1-p-T-диаграмма по Торкару и Крипперу [21], 2-p-T-диаграмма по Эрвину и Осборну [24], 3 – расчетная p-T-диаграмма): I – Al(OH)<sub>3</sub> (гидрагиллит); II – область стабильного существования диаспора; II' – область существования метастабильного бемита по [21]; III (включает III', III'', III''') – область стабильного существования α-Al<sub>2</sub>O<sub>3</sub> по результатам расчетов и экспериментальной диаграмме, приведенной в [24]; III' – α-Al<sub>2</sub>O<sub>3</sub>\* (нанокристаллический), III'' – α-Al<sub>2</sub>O<sub>3</sub> (КИ-форма), III''' – α-Al<sub>2</sub>O<sub>3</sub>, IV – γ-Al<sub>2</sub>O<sub>3</sub> (автоклавный) по диаграмме, представленной в [21], и область стабильного существования α-Al<sub>2</sub>O<sub>3</sub> по расчетам.

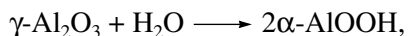
является выделение в экспериментальных работах на p-T-диаграмме области, в которой устойчива модификация γ-AlOOH (бемит), в то время как, согласно результатам термодинамических расчетов, наиболее устойчивой структурной модификацией оксигидроксида алюминия во всем диапазоне существования AlOOH является α-AlOOH (диаспор), т.е. переход α-AlOOH (диаспор) → γ-AlOOH (бемит) термодинамически невозможен ни при каких значениях температуры и давления. Повидимому, это можно объяснить тем, что с кинетической точки зрения реакция дегидратации гидрагиллита с образованием бемита



более предпочтительна, чем с образованием диаспора, так как не требует какой-либо существенной перестройки кристаллической структуры, а следовательно, в соответствии с классификацией Бюргера является быстропротекающей [24]. Область II' на рис. 2 можно назвать областью возможного образования бемита в условиях ненасыщенного пара. При температуре 300–350°C, согласно результатам термодинамического расчета (рис. 2), может протекать реакция дегидратации



однако γ-модификация оксида алюминия в данных условиях является неустойчивой к процессу гидратации:



поэтому в области III должен образовываться устойчивый в данном  $p-t$ -диапазоне  $\alpha\text{-AlOOH}$ .

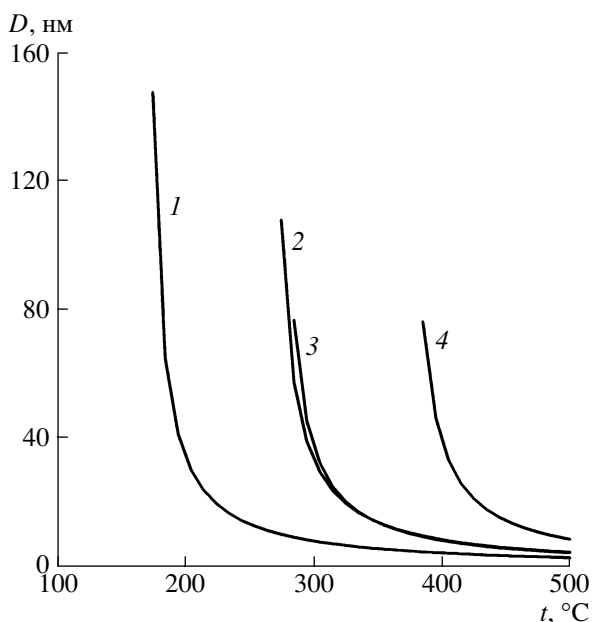
В связи с тем, что расчетные данные о  $p-t$ -диаграмме перехода диаспора в  $\alpha\text{-Al}_2\text{O}_3$  практически совпадают с экспериментальными данными о  $p-t$ -области образования  $\alpha\text{-Al}_2\text{O}_3$  (причем по экспериментальным данным  $\alpha\text{-Al}_2\text{O}_3$  образуется из  $\gamma\text{-AlOOH}$ ), то можно предположить, что образование  $\alpha\text{-Al}_2\text{O}_3$  из бемита происходит через стадию трансформации  $\gamma\text{-AlOOH} \rightarrow \alpha\text{-AlOOH}$ .

Также следует отметить, что, согласно результатам расчета, в ходе дегидратации гидроксида алюминия при температурах термодинамически возможного образования  $\alpha\text{-Al}_2\text{O}_3$  ( $200\text{--}450^\circ\text{C}$ ) и  $\gamma\text{-Al}_2\text{O}_3$  ( $300\text{--}500^\circ\text{C}$ ) при давлениях менее 10 МПа размеры равновесных зародышей  $\alpha\text{-}$  и  $\gamma\text{-Al}_2\text{O}_3$  достаточно малы ( $5\text{--}20$  нм) (рис. 3), поэтому весьма вероятно образование как той, так и другой модификаций по механизму флуктуационного зародышеобразования. Повышение давления приводит к значительному увеличению размеров равновесного зародыша  $\gamma\text{-Al}_2\text{O}_3$ , тогда как значения размеров равновесного зародыша  $\alpha\text{-Al}_2\text{O}_3$  не претерпевают заметных изменений и составляют  $10\text{--}15$  нм; это обстоятельство делает практически невозможным образование  $\gamma\text{-Al}_2\text{O}_3$  по механизму флуктуационного зародышеобразования. Данный вывод подтверждается экспериментально – анализ  $p-t$ -диаграммы состояния системы  $\text{Al}_2\text{O}_3\text{-H}_2\text{O}$  [21] (см. рис. 2) показывает возможность образования так называемого автоклавного  $\gamma\text{-Al}_2\text{O}_3$  лишь при давлениях ниже  $10\text{--}15$  МПа. Следует отметить, что образующийся в гидротермальных условиях  $\gamma\text{-Al}_2\text{O}_3$ , согласно данным термодинамического анализа, не устойчив и должен превратиться в  $\alpha\text{-Al}_2\text{O}_3$ .

Таким образом, анализ результатов термодинамического расчета (рис. 2, 3) позволяет прогнозировать возможность получения частиц  $\text{Al}_2\text{O}_3$  размером менее 100 нм практически при любом режиме дегидратации при значениях температуры и давления  $150\text{--}500^\circ\text{C}$  и  $0.1\text{--}70$  МПа. Вместе с тем, наиболее вероятно ожидать образования нанокристаллов  $\alpha\text{-Al}_2\text{O}_3$  в гидротермальных условиях при  $t = 200\text{--}390^\circ\text{C}$  и  $p = 2\text{--}10$  МПа (см. рис. 2, 3).

## ЭКСПЕРИМЕНТАЛЬНАЯ ЧАСТЬ

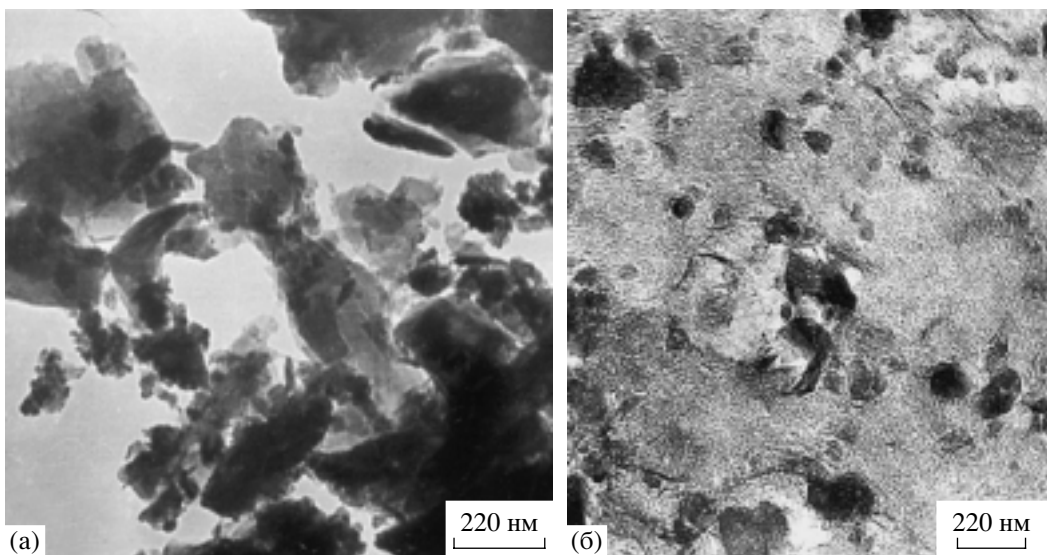
Исследование возможностей гидротермального метода для получения наночастиц  $\alpha\text{-Al}_2\text{O}_3$  представляет интерес в связи с тем, что, как показано на примере синтеза наночастиц  $\text{ZrO}_2$  (см. [25–28]), в гидротермальных условиях образуются изолированные наночастицы с достаточно узким распределением по размерам. Для экспериментального исследования процессов дегидратации  $\text{Al(OH)}_3$  в зависимости от его строения в качестве исходных использовали кристалличес-



**Рис. 3.** Зависимости размера равновесного зародыша  $\text{Al}_2\text{O}_3$  от температуры обработки. 1 –  $\gamma\text{-AlOOH} \rightarrow \alpha\text{-Al}_2\text{O}_3$  ( $p = 2$  МПа); 2 –  $\gamma\text{-AlOOH} \rightarrow \alpha\text{-Al}_2\text{O}_3$  ( $p = 70$  МПа); 3 –  $\gamma\text{-AlOOH} \rightarrow \gamma\text{-Al}_2\text{O}_3$  ( $p = 2$  МПа); 4 –  $\gamma\text{-AlOOH} \rightarrow \gamma\text{-Al}_2\text{O}_3$  ( $p = 70$  МПа).

кий (гидрагиллит) и рентгеноаморфный гидроксид алюминия, полученный методом осаждения из 1М раствора хлорида алюминия (“ч.д.а.”) раствором гидроксида аммония (“ч.д.а.”). Исходные вещества, различающиеся не только на уровне строения молекулы  $\text{Al(OH)}_3$ , но и на микроструктурном уровне (рис. 4), подвергали гидротермальной обработке при температуре печи  $250\text{--}500^\circ\text{C}$  и давлении  $10\text{--}100$  МПа в растворах различного химического состава (в дистиллированной воде, а также в водных растворах: 0.5–1 мас.%  $\text{NaF}$ , 1–10 мас.%  $\text{NaOH}$ , 0.5–1 мас.%  $\text{Na}_2\text{CO}_3$ ). Продолжительность изотермической выдержки варьировали от 30 мин до 144 ч. Исходные составы представляли собой разбавленные суспензии с отношением твердого к жидкому (1 : 50 – 1 : 100). Так как в ряде работ [29–32] установлено, что механическая обработка, предшествующая гидротермальной, значительно облегчает последующие превращения при нагреве в парах воды (причем конечный продукт приобретает более совершенную структуру), некоторые исходные составы подвергали ультразвуковой обработке с частотой 22 МГц в течение 5–30 мин для дезагрегации частиц и равномерного распределения исходного твердого вещества в гидротермальном растворе.

Фазовый анализ осуществляли с использованием рентгеновского дифрактометра ДРОН-3 (шаг сканирования по  $2\theta = 0.1^\circ$ , время накопления сигнала – 2 с/точку,  $\text{CuK}_{\alpha}$ -излучение). Для исследований методами оптической и просвечивающей

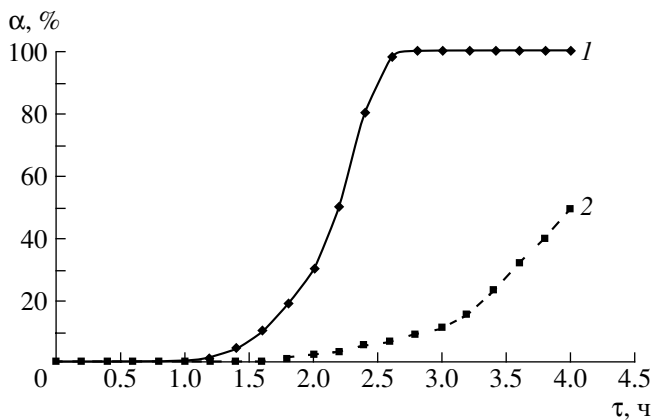


**Рис. 4.** Исходный для гидротермального синтеза гидроксид алюминия: а – кристаллический  $\text{Al}(\text{OH})_3$  (гидрагиллит), б – аморфный  $\text{Al}(\text{OH})_3$ .

электронной микроскопии использовали микроскоп МИН-8 и микроскоп ЭМ-125 с  $U_{\text{вск}} = 75$  кВ соответственно. Образцы для электронно-микроскопического исследования готовили диспергированием порошка в ацетоне (5 мин). Каплю дисперсии наносили на углеродную пленку.

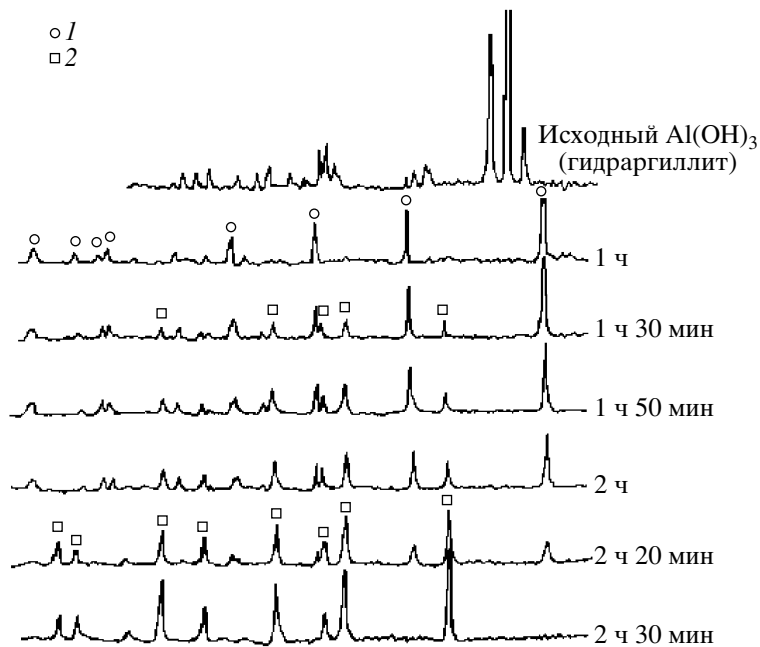
#### ОБСУЖДЕНИЕ РЕЗУЛЬТАТОВ

В результате комплексного физико-химического исследования продуктов гидротермальной обработки была установлена общая схема дегидратационных процессов в условиях повышенного давления:



**Рис. 5.** Кинетика процесса дегидратации гидроксида алюминия (1 – кристаллического, 2 – аморфного) в гидротермальных условиях при  $t = 450^\circ\text{C}$ ,  $p = 70$  МПа (по данным микроскопических исследований).

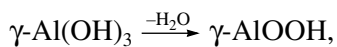
Обнаружено, что в ходе гидротермальной обработки аморфного гидроксида алюминия при температуре в печи  $250\text{--}300^\circ\text{C}$  и давлении в автоклаве 10–70 МПа в дистиллированной воде и в растворах  $\text{NaOH}$  и  $\text{NaF}$  даже при длительной (144 ч) изотермической выдержке возможно получение лишь бемита ( $\gamma\text{-AlOOH}$ ). Этот результат подтверждает выводы, сделанные на основе сопоставления литературных и расчетных диаграмм превращений в системе  $\text{Al}_2\text{O}_3\text{--H}_2\text{O}$ . Несмотря на то, что в данном температурном диапазоне равновесным является  $\alpha\text{-AlOOH}$  (диаспор), по-видимому, по кинетическим причинам в связи с близостью структуры зародышебобразующих центров в аморфном  $\text{Al}(\text{OH})_3$  (так же как и структуры гидрагиллита) со структурой  $\gamma\text{-AlOOH}$  в процессе гидротермальной обработки аморфного  $\text{Al}(\text{OH})_3$  формируется  $\gamma\text{-AlOOH}$ . В результате гидротермальной обработки аморфного гидроксида алюминия в течение 4 ч при температуре  $450^\circ\text{C}$  образуется около 50 %  $\alpha\text{-Al}_2\text{O}_3$  (рис. 5), а суточная выдержка позволяет получить исключительно  $\alpha\text{-Al}_2\text{O}_3$ , а не структурно близкий бемиту  $\gamma\text{-Al}_2\text{O}_3$ , образующийся при термообработке  $\gamma\text{-AlOOH}$  на воздухе. Это связано, по-видимому, с тем, что при данной температуре повышается подвижность ионов на поверхности частиц  $\gamma\text{-AlOOH}$ , а следовательно, возрастает скорость процессов растворения–кристаллизации, перестройки кристаллической структуры, образования равновесных зародышей в результате флуктуационных явлений и т.п. Перечисленные причины в свою очередь приводят к тому, что в системе формируются зародыши равновесного в данных условиях  $\alpha\text{-Al}_2\text{O}_3$ , а не структурно близкого бемиту  $\gamma\text{-Al}_2\text{O}_3$ .



**Рис. 6.** Дифрактограммы продуктов гидротермальной обработки кристаллического гидроксида алюминия (гидрагиллита) при  $t = 450^{\circ}\text{C}$  и  $p = 70 \text{ МПа}$ : 1 –  $\gamma\text{-AlOOH}$ , 2 –  $\alpha\text{-Al}_2\text{O}_3$ .

Изменение химического состава гидротермальных растворов практически не влияет на скорость дегидратации  $\text{Al}(\text{OH})_3$ , однако оно приводит к замедлению процесса дегидратации бемита ( $\gamma\text{-AlOOH}$ ). Это замедление, по-видимому, связано со стабилизацией оксигидроксидных форм в присутствии щелочных катионов вследствие образования устойчивых соединений типа  $\text{MAlO}_2$ , которые можно рассматривать как соли метаалюминиевой кислоты ( $\text{H}-\text{O}-\text{Al}=\text{O}$ ).

Использование в качестве исходного материала для гидротермальной обработки кристаллического гидроксида алюминия (гидрагиллита –  $\gamma\text{-Al}(\text{OH})_3$ ) не приводит к каким-либо значительным изменениям в ходе превращений гидроксида алюминия по сравнению с дегидратацией аморфного  $\text{Al}(\text{OH})_3$ . Однако следует отметить, что проведенное кинетическое исследование при температуре  $450^{\circ}\text{C}$  и давлении 70 МПа выявило, что скорость процесса дегидратации кристаллического  $\text{Al}(\text{OH})_3$ , значительно превышает скорость дегидратации рентгеноаморфного гидроксида алюминия (см. рис. 5, 6). Более высокая скорость образования  $\alpha\text{-Al}_2\text{O}_3$  из кристаллического гидроксида алюминия, чем из аморфного, по-видимому, объясняется тем, что в случае исходного кристаллического  $\text{Al}(\text{OH})_3$ , имеющего большие размеры частиц, при химическом превращении



не требующем каких-либо существенных трансформаций структуры гидроксида алюминия, фор-

мируются частицы оксигидроксида алюминия больших размеров, чем при образовании  $\gamma\text{-AlOOH}$  из аморфного гидроксида алюминия. В первом случае должны образовываться и большие по размерам частицы  $\alpha\text{-Al}_2\text{O}_3$  при превращениях

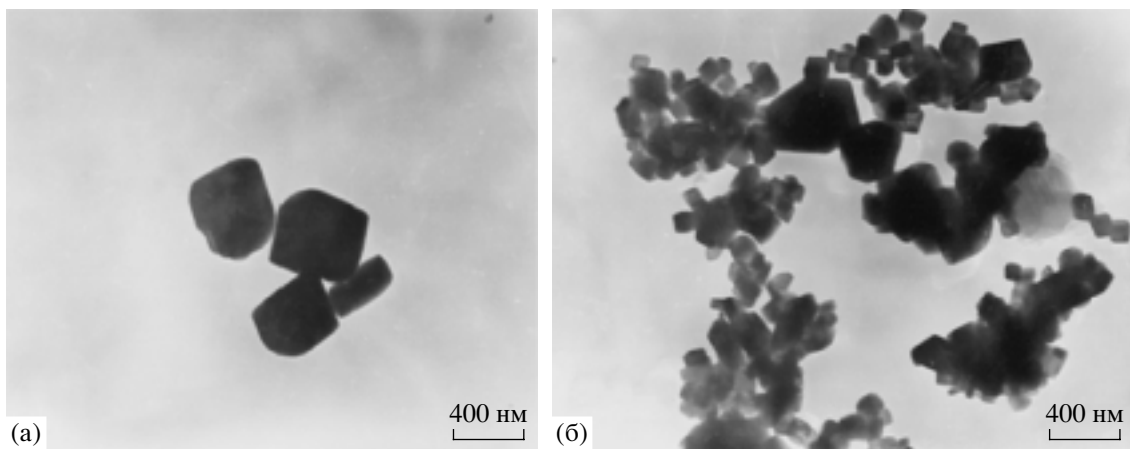


Таким образом, при одинаковой скорости трансформационного процесса большие размеры частиц исходного и промежуточного соединений обеспечивают большую суммарную скорость образования  $\alpha\text{-Al}_2\text{O}_3$ . Отметим, что сделанный вывод о больших размерах кристаллов  $\alpha\text{-Al}_2\text{O}_3$ , образующихся при гидротермальной обработке гидрагиллита, чем полученных гидротермальной дегидратацией аморфного  $\text{Al}(\text{OH})_3$ , подтверждается и экспериментальными данными (рис. 7).

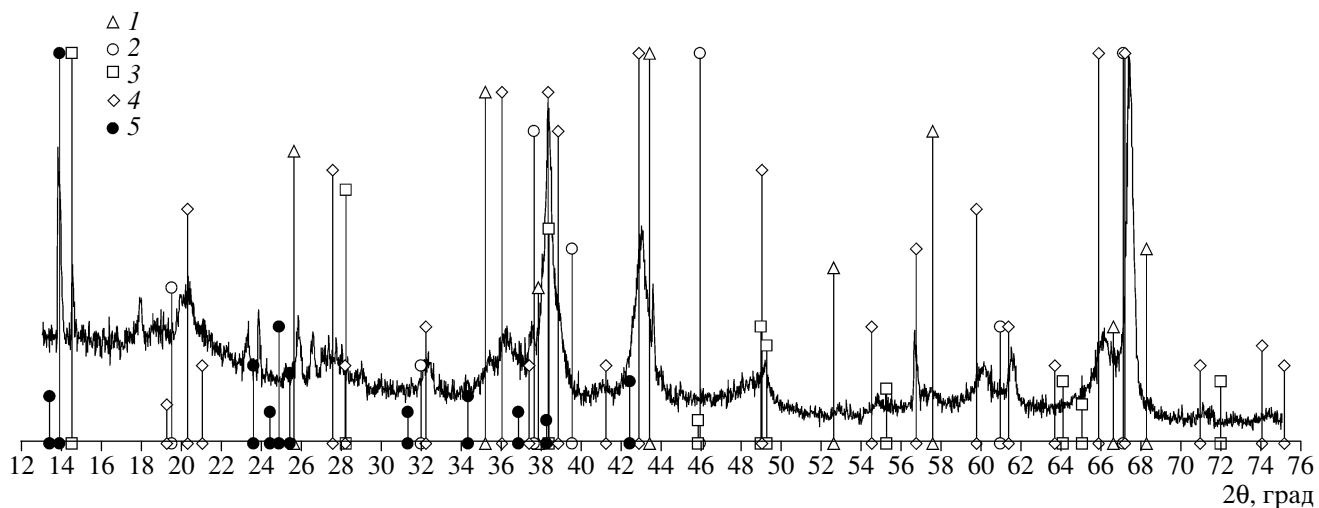
Кроме кристаллического и аморфного гидроксидов, гидротермальной обработке подвергли  $\gamma\text{-Al}_2\text{O}_3$ . Согласно результатам проведенных исследований, можно заключить, что процесс образования  $\alpha\text{-Al}_2\text{O}_3$  в гидротермальных условиях проходит не путем прямой трансформации  $\gamma\text{-Al}_2\text{O}_3 \rightarrow \alpha\text{-Al}_2\text{O}_3$ , а через стадию образования бемита, т.е. по схеме



Данный факт можно объяснить тем, что скорость процесса гидратации значительно превышает скорость структурного перехода  $\gamma\text{-Al}_2\text{O}_3 \rightarrow \alpha\text{-Al}_2\text{O}_3$ , так как, во-первых, существование бемита в температурном диапазоне  $150\text{--}400^{\circ}\text{C}$  термодинамически



**Рис. 7.** Микрофотографии кристаллов  $\alpha\text{-Al}_2\text{O}_3$  – продуктов гидротермальной обработки  $\text{Al}(\text{OH})_3$  при  $t = 450^\circ\text{C}$ ,  $p = 70$  МПа в течение 4 ч: а –  $\alpha\text{-Al}_2\text{O}_3$ , полученный из исходного кристаллического  $\text{Al}(\text{OH})_3$  (гидрагилита); б –  $\alpha\text{-Al}_2\text{O}_3$ , полученный из исходного аморфного  $\text{Al}(\text{OH})_3$ .

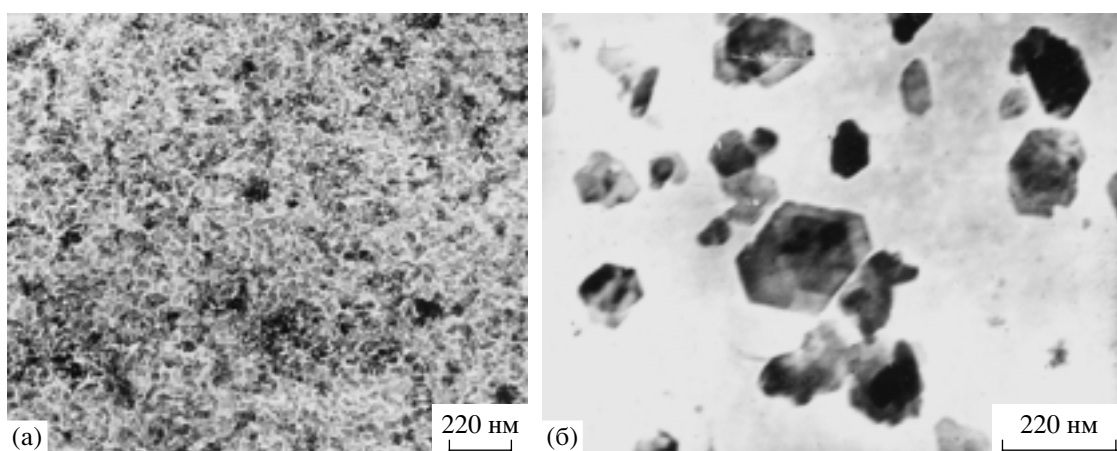


**Рис. 8.** Дифрактограммы образца  $\text{Al}(\text{OH})_3$  после гидротермальной обработки при температуре в печи  $475^\circ\text{C}$ , давлении 2 МПа и времени изотермической выдержки около 5 ч: 1 –  $\alpha\text{-Al}_2\text{O}_3$ , 2 –  $\gamma\text{-Al}_2\text{O}_3$ , 3 –  $\gamma\text{-AlOOH}$ , 4 –  $(\text{Al}_2\text{O}_3)_4 \cdot \text{H}_2\text{O}$ , 5 –  $\text{AlCl}(\text{OH})_2 \cdot 2\text{H}_2\text{O}$ .

более выгодно и, во-вторых, в связи со структурным подобием  $\gamma\text{-Al}_2\text{O}_3$  и  $\gamma\text{-AlOOH}$  процесс гидратации происходит без реконструктивных изменений в первой координационной сфере ионов алюминия (в отличие от перехода  $\gamma\text{-Al}_2\text{O}_3 \rightarrow \alpha\text{-Al}_2\text{O}_3$ ), а следовательно, согласно выводам Бюргера [24], является быстропротекающим.

На основании анализа приведенной в [21] экспериментальной диаграммы превращений гидроксида алюминия и результатов термодинамического расчета можно сделать предположение о возможности получения в гидротермальных условиях метастабильного  $\gamma\text{-Al}_2\text{O}_3$  при  $t > 400$  и  $p < 10$  МПа (см. рис. 2). В связи с этим было исследовано влияние давления на последовательность процессов дегидратации аморфного гидроксида алюминия.

Обнаружено, что изменение давления в диапазоне 10–90 МПа практически не сказывается на процессе дегидратации. Однако при значениях давления ниже 10 МПа при температуре  $475^\circ\text{C}$  и при непродолжительной изотермической выдержке (5 ч), как показано методом РГА, наряду с пиками бемита и  $\alpha\text{-Al}_2\text{O}_3$ , фиксируется наличие максимумов, отвечающих целому ряду соединений алюминия – как полиморфных модификаций  $\text{Al}_2\text{O}_3$ , так и оксигидроксидов (рис. 8.). Этот факт можно объяснить тем, что при низких значениях давления пара уменьшается скорость процессов перекристаллизации, а следовательно, понижается скорость приближения системы к равновесию. В такой ситуации возможно одновременное существование различных переходных форм окси-



**Рис. 9.** Микрофотографии продуктов гидротермальной обработки аморфного  $\text{Al}(\text{OH})_3$  при  $p = 2$  МПа в течение 5 ч: а –  $t = 400^\circ\text{C}$ ; б –  $t = 475^\circ\text{C}$ .

гидроксидов и оксидов алюминия – от быстро образующегося из  $\text{Al}(\text{OH})_3$  бемита до равновесного  $\alpha\text{-Al}_2\text{O}_3$ . Следует отметить, что наличие в системе неравновесных форм оксида алюминия при сравнительно небольших значениях давления воды может быть объяснено понижением скорости гидратационных процессов. Таким образом, с понижением значений скорости перекристаллизации и гидратации и одновременным увеличением скорости дегидратации, связанным с уменьшением давления воды в автоклаве, можно ожидать образования и относительно длительного существования различных неравновесных и ультрадисперсных форм оксида алюминия, что подтверждается полученными экспериментальными данными.

При температуре в печи ниже  $475^\circ\text{C}$  ( $t = 400$ ,  $350^\circ\text{C}$ ) в ходе гидротермальной обработки при  $p = 2$  МПа был получен только  $\gamma\text{-AlOOH}$ . Таким образом, на основании результатов проведенных термодинамических расчетов и экспериментальных исследований показана зависимость механизма процесса дегидратации  $\text{Al}(\text{OH})_3$  от температуры и давления в автоклаве.

Относительно невысокая скорость дегидратации оксигидроксида алюминия по сравнению со скоростью перекристаллизации, в отличие, например, от реакции разложения гидроксида (оксигидроксида) циркония с образованием наночастиц  $\text{ZrO}_2$  [25–28], приводит к тому, что при гидротермальном синтезе  $\alpha\text{-Al}_2\text{O}_3$  образуются частицы с достаточно широким распределением по размерам – от десятков до сотен нм (рис. 9). В соответствии с обнаруженными в работе закономерностями для увеличения доли частиц  $\alpha\text{-Al}_2\text{O}_3$  нанометровых размеров необходимо уменьшить скорость перекристаллизации и увеличить скорость дегидратации  $\gamma\text{-AlOOH}$ . Вместе с тем, понижение давления, как показано в работе, может привести к образованию неравновесных форм оксида алю-

миния. Избежать этого, по-видимому, можно, используя в качестве исходного реагента  $\alpha\text{-AlOOH}$  (диаспор), структурно близкий к равновесной модификации оксида алюминия  $\alpha\text{-Al}_2\text{O}_3$ .

## ЗАКЛЮЧЕНИЕ

На основании термодинамического анализа фазовых равновесий в системе  $\text{Al}_2\text{O}_3\text{-H}_2\text{O}$  в диапазоне температур  $120\text{--}380^\circ\text{C}$  и давлений 1–70 МПа показано, что стабильной модификацией оксигидроксида алюминия является  $\alpha\text{-AlOOH}$  (диаспор). Таким образом, указываемая на экспериментальных фазовых диаграммах структурная модификация  $\gamma\text{-AlOOH}$  (бемит) в этом же диапазоне температур и давлений является неравновесной.

Экспериментально обнаружена и теоретически обоснована сильно выраженная зависимость механизма процесса дегидратации  $\text{Al}(\text{OH})_3$  и образования  $\alpha\text{-Al}_2\text{O}_3$  в гидротермальных условиях от давления.

Показана зависимость скорости образования  $\alpha\text{-Al}_2\text{O}_3$  в гидротермальных условиях от структуры исходного гидроксида алюминия.

Установлен диапазон параметров гидротермальной обработки, при которых можно ожидать образование наноразмерных частиц  $\alpha\text{-Al}_2\text{O}_3$ . В частности, показано, что понижение давления гидротермальной обработки приводит к увеличению доли частиц  $\alpha\text{-Al}_2\text{O}_3$  с размером менее 100 нм.

Работа выполнена при поддержке Российского фонда фундаментальных исследований (грант 03-03-32402).

## СПИСОК ЛИТЕРАТУРЫ

1. Казаков С.В., Соколов А.Н., Ципорина С.З. и др. Оксид алюминия со структурой муллита // Изв.

- АНССР. Неоган. материалы. 1988. Т. 24. № 12. С. 2010–2013.
2. Киселев В.Ф., Крылов О.В. Адсорбционные процессы на поверхности полупроводников и диэлектриков. М.: Наука, 1978. 256 с.
  3. Дзисько В.А., Карнаухов А.П. Тарасова Д.В. Физико-химические основы синтеза окисных катализаторов. Новосибирск: Наука, 1978. 384с.
  4. Киселев А.В., Лыгин В.И. Инфракрасные спектры поверхностных соединений. М.: Наука, 1972. 459 с.
  5. Липпенс Б.К., Стеггерда И.И. Активная окись алюминия // Строение и свойства адсорбентов и катализаторов. М.: Мир, 1973. С. 190–230.
  6. Чукин Г.Д., Селезнев Ю.Л. Механизм терморазложения бемита и модель строения оксида алюминия // Кинетика и катализ. 1989. Т. 30. № 1. С. 69–77.
  7. Мардилович П.П., Трохимец А.И., Зарецкий М.В., Купченко Г.Г. ИК-спектроскопическое исследование дегидратации байерита и гидрагилита // Журн. прикл. спектроскопии. 1985. Т. 42. № 6. С. 959–966.
  8. Стайлз Э.Б. Носители и нанесенные катализаторы. Теория и практика. М.: Химия, 1991. 240 с.
  9. Калинина А.М. О полиморфизме и ходе термического превращения окиси алюминия // Журн. неорганической химии. 1959. Т. 4. № 6. С. 1261–1269.
  10. Рубинштейн А.М., Словецкая К.И., Акимов В.М. и др. Полиморфизм и каталитические свойства  $\text{Al}_2\text{O}_3$  // Изв. АНССР. Сер. хим. 1960. № 1. С. 31–37.
  11. Sasvari K., Zalai A. The Crystal Structure and Thermal Decomposition of Alumina Hydrates as Regarded from The Point of View of Lattice Geometry // Acta Geol. Hungary. 1957. V. 4. P. 415–465.
  12. Дзисько В.А., Иванова А.С. Основные методы получения активного оксида алюминия // Изв. СО АНССР. Сер. хим. 1985. Т. 15. № 5. С. 110–119.
  13. Криворучко О.П., Буянов Р.А., Федотов М.А., Плясова М.Н. О механизме формирования байерита и псевдобемита // Журн. неорганической химии. 1978. Т. 23. № 7. С. 1796–1803.
  14. Шкрабина Р.А., Мороз Э.М., Левицкий Э.А. Полиморфные превращения окисей и гидроокисей алюминия // Кинетика и катализ. 1981. Т. 22. № 5. С. 1293–1299.
  15. Yanagida H., Yamaguchi G. Thermal Effect on the Lattices of  $\gamma$ - and  $\eta$ -Aluminium Oxide // Bull. Chem. Soc. Jpn. 1964. V. 37. № 8. P. 1229–1230.
  16. Lippens B.C., De Boer J.H. Study of Phase Transformations during Calcinations of Aluminium Hydroxides by Selected Area Electron Diffraction // Acta Crystallogr. 1964. V. 17. P. 1312–1321.
  17. Saalfeld H. Structure Phases of Dehydrated Gibbsite // Reactivity of Solid/Ed. De Boer J.H. N.Y.: Elsevier, 1961. P. 310–316.
  18. Рябов Н.А., Кожина И.И., Козлов И.Л. Влияние условий получения окиси алюминия на ее полиморфные превращения // Журн. неорганической химии. 1970. Т. 15. № 3. С. 602–606.
  19. Levin I., Brandon D. Metastable Alumina Polymorphs: Crystal Structures and Transition Sequences // J. Am. Ceram. Soc. 1998. V. 81. № 8. P. 1995–2012.
  20. Sharma P.K., Jilavi M.H., Bugard D. et al. Hydrothermal Synthesis of Nanosize  $\alpha$ - $\text{Al}_2\text{O}_3$  from Seeded Aluminum Hydroxide // J. Am. Ceram. Soc. 1998. V. 81. № 10. P. 2732–2734.
  21. Торопов Н.А., Барзаковский В.П., Лапин В.В., Курцева Н.Н. Диаграммы состояния силикатных систем: Справочник. Вып. 1. Л.: Наука, 1965. С. 546.
  22. Laubengayer A.W., Weiss R.S. // J. Am. Chem. Soc. 1943. V. 65. № 2. P. 250.
  23. Erwin G., Osborn E.F. // J. Geology. 1951. V. 59. № 4. P. 381.
  24. Buenger M.J. Polymorphism and Phase Transformation // Fortscher. Miner. 1961. V. 39. P. 9–24.
  25. Пожидаева О.В., Корыткова Э.Н., Дроздова И.А., Гусаров В.В. Влияние условий гидротермального синтеза на фазовое состояние и размер частиц ультрадисперсного диоксида циркония // Журн. общ. химии. 1999. Т. 69. № 8. С. 1265–1270.
  26. Пожидаева О.В., Корыткова Э.Н., Романов Д.П., Гусаров В.В. Формирование нанокристаллов диоксида циркония в гидротермальных средах различного химического состава // Журн. общ. химии. 2002. Т. 72. № 6. С. 910–914.
  27. Shigeyuki Somiya, Tokaji Akiba. Hydrothermal Zirconia Powders: a Bibliography // J. Eur. Ceram. Soc. 1999. № 19. P. 81–87.
  28. Бурухин А.А., Олейников Н.Н., Чурагулов Б.Р. и др. Синтез нанокристаллических порошков диоксида циркония в гидротермальных и сверхкриктических растворах // Вестн. Воронеж. гос. техн. ун-та. Сер. Материаловедение. 1999. Вып. 1.5. С. 19–24.
  29. Авакумов Е.Г. Механические методы активации химических процессов. Новосибирск: Наука, 1986.
  30. Механохимический синтез в неорганической химии: Сб. науч. тр. Новосибирск: Наука, 1991.
  31. Григорьева Т.Ф., Ворсина И.А., Баринова А.П., Ляхов Н.З. Начальные стадии процесса механохимической активации каолинита и талька // Неорганические материалы. 1996. Т. 32. № 1. С. 84.
  32. Данчевская М.Н., Ивакин Ю.Д., Муравьева Г.П., Зуй А.И. Об особенностях превращения механически активированного гидрагилита в условиях термопаровой обработки // Вестн. моск. ун-та. Сер. 2. Химия. 1997. Т. 38. № 1. С. 21–25.